

PAPER NAME

333-2142-2-LE.docx

AUTHOR

Rhahmi Adni Pema

WORD COUNT

4023 Words

CHARACTER COUNT

24986 Characters

PAGE COUNT

12 Pages

FILE SIZE

1.5MB

SUBMISSION DATE

Mar 8, 2024 4:41 PM GMT+7

REPORT DATE

Mar 8, 2024 4:41 PM GMT+7

● 16% Overall Similarity

The combined total of all matches, including overlapping sources, for each database.

- 15% Internet database
- 6% Publications database
- Crossref database
- Crossref Posted Content database
- 6% Submitted Works database

● Excluded from Similarity Report

- Bibliographic material
- Cited material
- Small Matches (Less than 8 words)

PENDUGAAN ZONA SESAR BERDASARKAN GEOLISTRIK 2D PADA ULUJADI, KOTA PALU, SULAWESI TENGAH

THE ESTIMATION OF FAULT ZONE BASED ON 2D GEOELECTRIC IN ULUJADI, PALU CITY, CENTER SULAWESI

Rhahmi Adni Pesma^{1*}, Adrian Freenaldo Sitanggang²

^{1,2}Fakultas Teknologi Industri, Institut Teknologi Sumatera; Jl. Terusan Ryacudu, Way Huwi, Kec. Jati Agung, Kabupaten Lampung Selatan, Lampung 35365; Fax. (0721) 8030189

Received: 2023, October 5th
Accepted: 2024, January 16th

Keywords:

Earthquake;
Fault;
Rock resistivity;
Wenner configuration.

Correspondent Email:

rhahmi.pesma@tg.itera.ac.id

How to cite this article:

Pesma, R.A. & Sitanggang, A.F. (2024). Pendugaan Zona Sesar Berdasarkan Geolistrik 2D Pada Ulujadi, Kota Palu. *Jurnal Geofisika Eksplorasi*, 10(01), 14-25.

© 2024, JGE (Jurnal Geofisika Eksplorasi). This article is an open-access article distributed under the terms and conditions of the Creative Commons Attribution (CC BY NC)

Abstrak. Ulujadi, Kota Palu, Provinsi Sulawesi Tengah sering mengalami gempa bumi karena dilalui sesar aktif yaitu sesar Palu Koro. Hal tersebut mengakibatkan kerugian yang besar bagi penduduk setempat, sehingga diperlukan upaya mitigasi bencana gempa bumi untuk masa yang akan datang. Sebagai bentuk dukungan untuk keberhasilan mitigasi tersebut dilakukanlah penelitian dengan tujuan untuk mengidentifikasi jenis lapisan batuan bawah permukaan dan menduga keberadaan zona sesar. Metode geofisika yang digunakan adalah metode Geolistrik 2D Konfigurasi *Wenner* sebanyak 3 lintasan. Berdasarkan hasil analisis pemodelan 2D terdapat 3 lapisan batuan bawah permukaan yang terdiri dari batupasir pada rentang 0,86 – 163 Ωm , batugamping pada rentang 164 – 1.013 Ωm , dan batu konglomerat pada rentang 1.014 – 10.527 Ωm . Terdapat 3 terduga zona sesar pada lintasan 2 dan lintasan 3 yang tergolong pada sesar minor (patahan dangkal) yang termasuk jenis sesar normal dengan arah kemenerusan dominan timur laut-barat daya daerah penelitian. Hasil penelitian ini, diharapkan menambah informasi terkait zona sesar, agar upaya mitigasi bencana dapat diupayakan lebih baik.

Abstract. Ulujadi, Palu City, Central Sulawesi Province often experiences earthquakes because it is crossed by an active fault, namely the Palu Koro fault. This results in large losses for the local population, so that earthquake disaster mitigation efforts are needed for the future. As a form of support for the success of this mitigation, research was carried out with the aim of identifying the types of subsurface rock layers and predicting the existence of fault zones. The geophysical method used is the Wenner Configuration 2D Geoelectric method with 3 lines. Based on 2D modeling analysis, there are 3 subsurface rock layers consisting of sandstone in the range 0.86 – 163 Ωm , limestone in the range 164 – 1,013 Ωm , and conglomerate rock in the range 1,014 – 10,527 Ωm . There are 3 suspected fault zones on line 2 and line 3 which are classified as minor faults (shallow faults) which are normal fault types with a northeast-southwest direction in the research area. It is hoped that the results of this research will add information regarding fault zones, so that disaster mitigation efforts can be made better.

1. PENDAHULUAN

Kondisi geologi Pulau Sulawesi memiliki karakteristik yang unik dan kompleks, karena posisinya tepat di tengah pertemuan tiga lempeng, yaitu Eurasia, Pasifik dan Hindia-Australia (Massinai dkk., 2013). Pergerakan lempeng pada Indonesia bagian timur ini dua kali lebih cepat dibandingkan dengan wilayah Indonesia bagian barat, khususnya pada pergerakan Lempeng Pasifik yang menabrak Pulau Irian dan Maluku dengan kecepatan 120 mm/tahun (Pakpahan dkk., 2015). Hal ini menyebabkan Pulau Sulawesi mengalami ketidakstabilan tektonik, sehingga membentuk beberapa sesar aktif salah satunya sesar Palu Koro dan sesar-sesar minor dengan kedalaman dangkal (Supartoyo dkk., 2014; Yusran dkk., 2020).

Sesar Palu Koro merupakan struktur geologi utama yang membentang dari Teluk Palu ke arah Tenggara (Supartoyo dkk., 2014). Panjang sesar ini kurang lebih 240 km dengan kecepatan pergeseran 25-30 mm/tahun (Pakpahan dkk., 2015). Sesar ini juga terdapat lembah sesar, dimana lebar sekitar 5 km dan tinggi dindingnya sekitar 2 km (Suroño & Hartono, 2015). Hal ini menyebabkan wilayah di sekitar lajur sesar Palu Koro rawan terhadap gempa bumi tektonik.

Ada beberapa wilayah yang dilalui sesar Palu Koro, salah satunya adalah Kota Palu, Sulawesi Tengah. Menurut Supartoyo dan Suroño, (2018) di wilayah Sulawesi Tengah telah mengalami paling tidak 22 kali gempa bumi terhitung dari tahun 1910 hingga 2018. Gempa bumi yang terjadi ini merupakan gempa bumi "merusak" dengan pusat gempa bumi terletak di darat. Pada kurun waktu terakhir, tepatnya bulan September 2018, juga terjadi gempa bumi dengan magnitudo M7,7 dimana pusat gempa bumi berada di 80 km dari Kota Palu, pada kedalaman 10 km. Gempa bumi ini menimbulkan tsunami dengan ketinggian 5 meter (BMKG, 2018). Gempa ini telah menimbulkan korban jiwa dan kerusakan infrastruktur berupa bangunan dengan

kategori rusak ringan hingga runtuh (Samang dkk., 2018). Biasanya potensi kerusakan gempa bumi yang berasal dari sesar aktif (darat) akan menimbulkan kerugian dan kerusakan lebih parah dibandingkan gempa bumi yang berasal dari lautan (Pakpahan dkk., 2015).

Mengacu pada dampak gempa bumi 2018 sebelumnya secara khusus dan kejadian-kejadian gempa bumi pada tahun sebelumnya secara umum, maka diperlukan usaha mitigasi bencana gempa bumi dalam rangka meminimalisasi korban jiwa dan efek kerusakan infrastruktur di masa yang akan datang. Keberhasilan mitigasi bencana gempa bumi sangat bergantung pada data atau pengetahuan yang cukup, terutama yang berkaitan dengan sumber gempa bumi (Pakpahan dkk., 2015).

Diperlukan penelitian yang komprehensif dan berkelanjutan terkait karakteristik sumber gempa bumi, salah satunya adalah terkait indikasi zona sesar di provinsi Sulawesi Tengah. Terjadinya gempa bumi pada suatu daerah sangat erat kaitannya dengan sesar-sesar yang berada pada daerah tersebut. Gerakan sesar yang tiba-tiba dapat berpotensi mengakibatkan gempa bumi (Massinai, 2015).

Geologi di sekitar kota Palu, Sulawesi Tengah didominasi endapan kuartar yang terdapat pada endapan fluviatil dan aluvium (Widyaningrum, 2012). Secara umum, kondisi batuan mengandung mineral yang belum mengalami kompaksi. Menurut Marjiyono dkk., (2013) indikasi sesar berupa singkapan struktur sesar sulit dijumpai di Sulawesi Tengah karena kondisi batuan yang lapuk ataupun tertutup oleh endapan kipas aluvial. Berdasarkan hal tersebut, maka diperlukan metode geofisika untuk pengamatan struktur bawah permukaan dan menduga keberadaan zona sesar. Salah satu metode geofisika yang mampu menginterpretasikan struktur bawah permukaan secara akurat dan mampu menggambarkan keberadaan sesar adalah geolistrik khususnya metode geolistrik 2D, dimana ini terlihat dari hasil

penelitian para peneliti sebelumnya yaitu Seminsky dkk. (2016), Mamonto dkk. (2016), Nevedrova (2017), Nabi dkk. (2020), dan Ariyanto dkk. (2023).

Metode geolistrik 2D mengidentifikasi struktur berdasarkan variasi nilai resistivitas batuan dari hasil inversi yang berupa penampang 2D. Adanya diskontinuitas nilai resistivitas batuan dan perubahan pola kontur resistivitas yang signifikan pada penampang 2D, maka dapat menjadi indikator adanya zona sesar bawah permukaan (Mamonto dkk., 2016; Seminsky dkk., 2016; Nabi dkk., 2020; Saputra dkk., 2021; Ariyanto dkk., 2023). Metode geolistrik 2D terdiri dari beberapa konfigurasi yaitu Wenner, Schlumberger, dan lain sebagainya. Konfigurasi Wenner merupakan konfigurasi yang dapat menunjukkan adanya struktur geologi bawah permukaan khususnya zona sesar secara akurat (Wafi dkk., 2013; Saputra dkk., 2021; Sandra dkk., 2023).

Pemaparan di atas merupakan latar belakang dari penelitian ini. Keterbarukan penelitian terletak pada lokasi penelitian yaitu di Kecamatan Ulujadi, Kota Palu, Sulawesi Tengah. Tujuan penelitian adalah mengidentifikasi jenis lapisan batuan bawah permukaan dan menduga keberadaan zona sesar di Ulujadi, Kota Palu, Sulawesi Tengah berdasarkan metode geolistrik 2D konfigurasi Wenner. Hasil penelitian ini dapat memperkaya pengetahuan yang berhubungan zona sesar yang diindikasikan sebagai sumber gempa dalam upaya mencapai keberhasilan mitigasi bencana di masa yang akan datang.

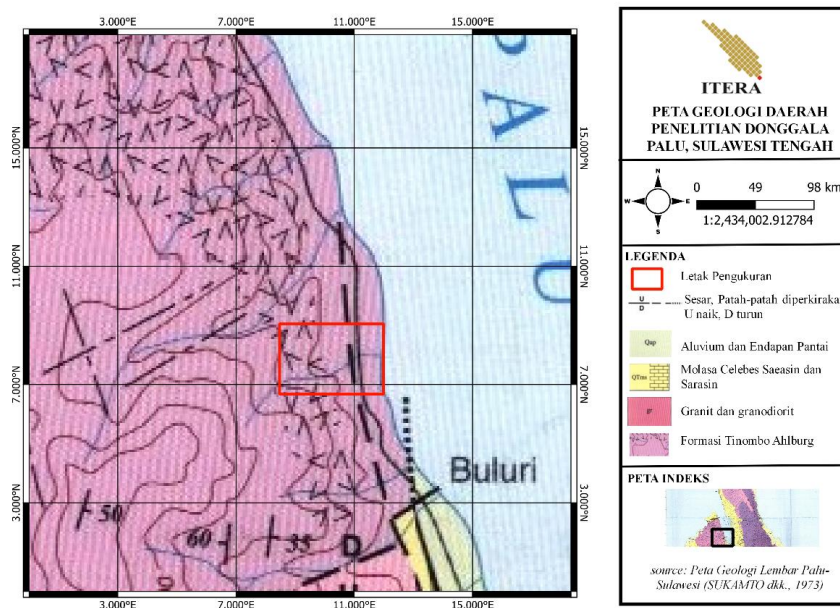
2. TINJAUAN PUSTAKA

2.1. Geologi Daerah Penelitian

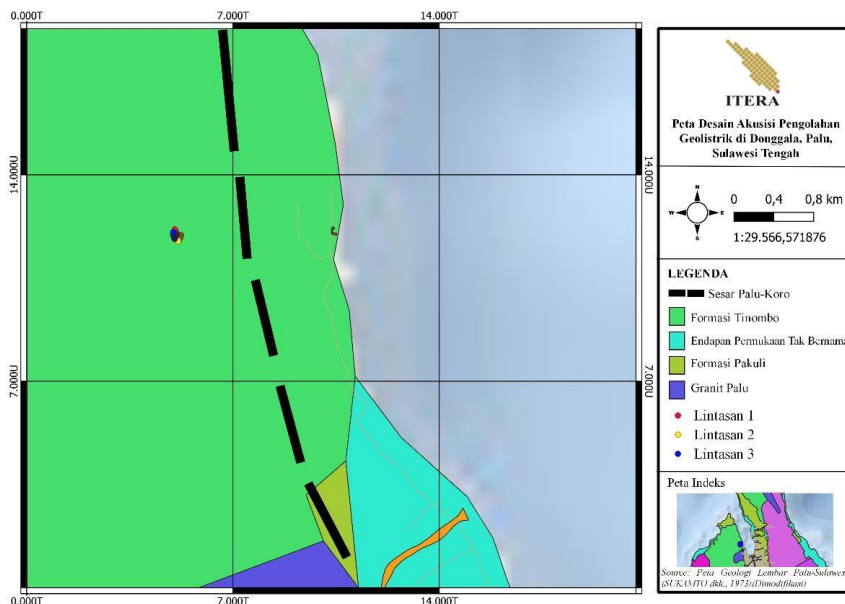
Ulujadi, kota Palu, Sulawesi Tengah terletak pada formasi Tinombo Ahlburg (Tt) yang dapat dilihat pada **Gambar 1**. Formasi ini terdiri dari serpih, batupasir, konglomerat, batuan vulkanik, batugamping, rijang termasuk filit, sabak dan kuarsit dekat pada intrusi (terutama batuan vulkanik). Formasi ini dikelilingi oleh beberapa formasi batuan lainnya, seperti formasi Granit dan Granodiorit (gr), lalu formasi Molasa Celebes Seasin dan Sarasin (QTms) yang terdiri dari konglomerat, batupasir, batulumpur, batugamping koral dan napal, sebagian mengeras leleh (terutama batugamping) dan Formasi aluvium dan endapan pantai (Qap) yang terdiri dari kerikil, batugamping koral, pasir dan lumpur (Sukamto, 1982).

2.2. Sesar

Daerah penelitian juga dilalui oleh sesar Palu Koro yang berada pada sisi timur yang terlihat pada **Gambar 2**. Sesar adalah struktur rekahan pada lapisan batuan yang telah mengalami pergeseran melalui bidang sesarnya akibat adanya pergerakan batuan di kerak bumi (Mamonto dkk., 2016). Sesar juga mengakibatkan struktur batuan/lapisan menjadi terpisah. Berdasarkan kedalaman terdapat jenis sesar minor (dangkal) yang berada pada kedalaman kurang dari 50 km. Sesar minor juga merupakan sesar yang terbentuk di dalam kerak bumi dangkal (Adis & Suryanto, 2018). Morfologi sesar bisa berupa rekahan tunggal (hanya terdapat satu sesar), zona sesar (lebih dari satu sesar), dan jalur pergeseran yang memiliki dimensi sesar yang bervariasi (Daryono, 2021).



24 **Gambar 1.** Peta geologi Daerah Penelitian



Gambar 2. Posisi Relatif Lintasan Pengukuran atau Lokasi Penelitian terhadap Sesar Palu Koro.

2.3. Geolistrik 2D dengan Konfigurasi Wenner

Metode geolistrik digunakan untuk mendeteksi lapisan batuan bawah permukaan berdasarkan sifat kelistrikan lapisan batuan tersebut (Saputra dkk. 2021). Tepatnya metode ini mempelajari sifat aliran arus listrik pada lapisan batuan (aliran listrik bisa diinjeksikan melalui dua elektroda arus). Perbedaan jenis lapisan batuan akan mengakibatkan terjadinya

perbedaan laju aliran arus listriknya (atau variasi beda potensial yang terjadi diantara dua elektroda potensial). Sehingga perbedaan jenis lapisan batuan akan memiliki nilai hambatan jenis (resistivitas) yang berbeda pula (unik).

Asumsi awal metode ini menganggap bahwa bumi bersifat homogen dan isotropik, maka hasil perhitungan resistivitas dari data lapangan merupakan

resistivitas semu dengan menggunakan Persamaan 1 :

$$\rho_a = k \frac{\Delta V}{I} \quad (1)$$

dimana, ρ_a adalah resistivitas tidak sebenarnya atau semu (Ωm); k adalah faktor geometri (m); ΔV adalah beda potensial; dan I adalah kuat arus (A). Resistivitas sebenarnya didapatkan melalui proses inversi dengan menggunakan *software*/program komputer.

Besaran koreksi terhadap perbedaan letak titik pengamatan/penempatan elektroda dinamakan faktor geometri, sehingga faktor geometri bergantung pada jenis konfigurasi. Faktor geometri untuk konfigurasi wenner sesuai Persamaan 2 :

$$k = 2\pi a \quad (2)$$

dimana, a adalah jarak/spasi antara elektroda (Telford dkk., 1990).

3. METODE PENELITIAN

3.1. Waktu dan Tempat Penelitian

Akuisisi data dilaksanakan pada Agustus 2021. Lokasi penelitian berada pada daerah Ulujadi, Kota Palu, Provinsi Sulawesi Tengah. Metodologi penelitian bersifat studi kasus, dimana penelitian yang berkaitan dengan suatu fase spesifik dari keseluruhan personalitas (Naryanto, 2018). Pemilihan tempat penelitian dilakukan secara *purposive*, dengan asumsi awal bahwa daerah penelitian ini termasuk daerah yang banyak dijumpai sesar karena dilalui oleh sesar utama Pulau Sulawesi yaitu sesar Palu Koro. Orientasi lintasan pengukuran dalam posisi paralel dengan sesar Palu Koro, sehingga peluang terduga sesar-sesar minor sekitar sesar Palu Koro akan berada pada posisi tegak lurus terhadap lintasan pengukuran geolistrik (Nurwidyanto, dkk., 2011). Adapun peta desain akuisisi pada **Gambar 3**.

3.2. Prosedur Penelitian

Metodologi pengambilan data bisa berupa data primer maupun sekunder. Data primer berarti diambil secara langsung dari lapangan, sedangkan data sekunder

didapatkan dari *desk study*, *browsing internet* atau lainnya (Naryanto, 2018). Data penelitian ini tergolong pada data sekunder.

Penelitian ini diawali dengan pengumpulan data geolistrik 2D dari salah satu kolega Konsultan Geofisika, yang menggunakan konfigurasi wenner dan terdiri dari 3 lintasan dengan panjang lintasan adalah 72 meter tiap lintasan dan terdapat 25 titik elektroda. Spasi elektroda yang digunakan adalah 3 meter (a) dan jumlah lapisan datum sebanyak 8 buah (n). Data lapangan ini terdiri dari nilai beda potensial (ΔV); kuat arus listrik (I); dan faktor geometri (k). Proses selanjutnya adalah perhitungan resistivitas semu (ρ_a) menggunakan Persamaan 1.

Resistivitas semu menjadi parameter fisis yang diinputkan dalam inversi untuk mendapatkan sebaran nilai resistivitas sebenarnya (ρ) beserta kedalamannya (h). Proses ini menggunakan *software Res2DInv* sebanyak 7 kali iterasi hingga mendapatkan nilai *RMS* yang paling kecil. Nilai resistivitas ini yang dijadikan acuan dalam mengidentifikasi lapisan batuan bawah permukaan dan pendugaan zona sesar.

Disamping itu, juga dilakukan pengumpulan informasi terkait kondisi geologi daerah penelitian sebagai pendukung dalam identifikasi jenis lapisan batuan bawah permukaan seperti pada sub bab 2.1 sebelumnya. Lokasi penelitian cukup dekat dengan daerah pantai yang berada di sisi timur. Info lain yang penting untuk dipelajari adalah informasi terkait penelitian terbaru yang melakukan pendugaan/identifikasi zona sesar/patahan/*fault* pada formasi yang sama maupun pada daerah-daerah lainnya sebagai informasi pendukung dalam mengidentifikasi zona sesar pada daerah penelitian ini.

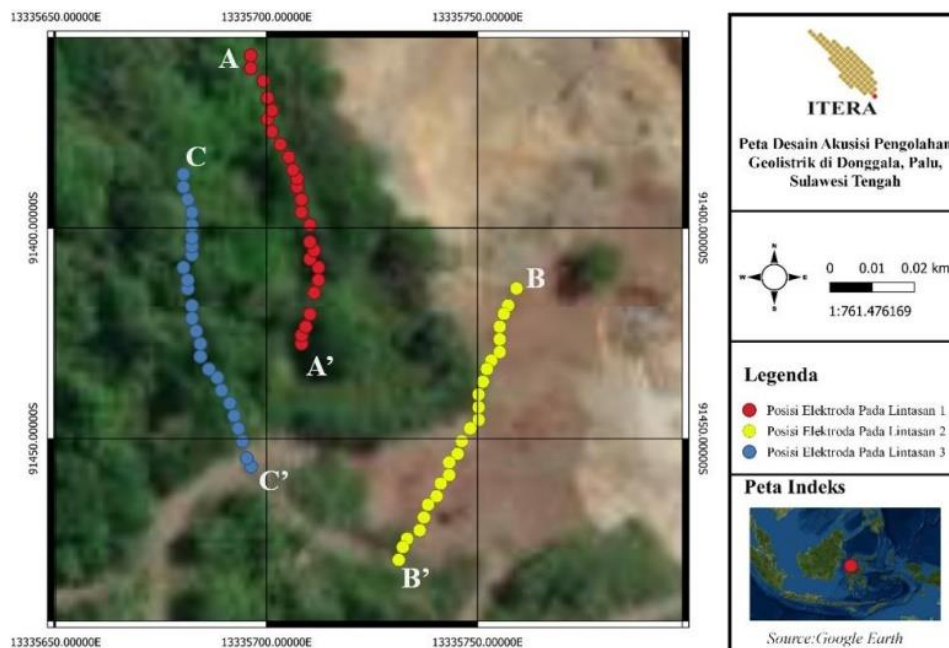
Berdasarkan **Gambar 2**, juga terlihat bahwa daerah penelitian juga dilalui oleh sesar utama Pulau Sulawesi yaitu sesar Palu Koro yang berada pada sisi timur (atau sebelah kiri sesar Palu Koro). Pendugaan zona sesar berdasarkan sebaran resistivitas batuan dapat dicirikan dengan terdapatnya indikasi berupa bidang diskontinuitas vertikal pada sebaran nilai resistivitas

batuan (Seminsky dkk., 2016; Nabi dkk., 2020; Saputra dkk., 2021; Ariyanto dkk., 2023). Terakhir dilakukan interpretasi hasil

analisis secara keseluruhan untuk menarik suatu kesimpulan dan membuat rekomendasinya.

Tabel 1. Resistivitas Batuan dari Telford, dkk., (1990)

| Jenis Material | Resistivitas (Ωm) |
|------------------|---------------------------------|
| Batupasir | $1 \times 10^0 - 1 \times 10^3$ |
| Batugamping | $5 \times 10^2 - 1 \times 10^5$ |
| Batu Konglomerat | $2 \times 10^3 - 1 \times 10^4$ |



Gambar 3. Peta Desain Akuisisi

4. HASIL DAN PEMBAHASAN

Secara keseluruhan diperoleh 3 jenis lapisan batuan di bawah daerah penelitian, yaitu :

- a. Lapisan batupasir pada rentang resistivitas 0,86 – 163 Ωm ;
- b. Lapisan batugamping pada resistivitas 164 – 1.013 Ωm ; dan
- c. Lapisan batu konglomerat pada resistivitas 1.014 – 10.527 Ωm .

Rentang resistivitas batuan pada penampang 2D lintasan 1 adalah 0,86-10.527 Ωm , sedangkan untuk lintasan 2 dan 3 adalah 34,4 – 3.428 Ωm . Rentang resistivitas pada lintasan 1 berbeda dengan lintasan lainnya. Hal serupa juga terlihat dari nilai *RMS Error* hasil inversi yang juga memiliki nilai yang berbeda. Dimana lintasan 1 memiliki *RMS Error* yang tinggi

walaupun telah dilakukan *filtering*, yaitu sebesar 41,5 %, yang mana sebelum dilakukan *filtering RMS Error* lintasan 1 sebesar ~65 %. Akan tetapi lintasan 2 dan 3 memiliki *RMS Error* yang lebih kecil yaitu ~5,3%. Hal ini kemungkinan besar terjadi akibat dari *human error* ketika akuisisi data/pengambilan data/proses pengukuran.

Menurut Sanders & Cornick (1993), *Human error* didefinisikan sebuah keputusan atau tindakan yang mengurangi efektivitas, performa sistem pengukuran. *Human error* adalah berbagai hal yang menyangkut permasalahan manusia dalam bertinteraksi dengan produk, mesin, ataupun komponen lainnya yang dioperasikan. Bisa dikatakan bahwa permasalahan yang terjadi antara operator dengan alat ukur yang digunakan.

Berdasarkan jenis aktivitasnya, *human error* yang paling umum terjadi dalam suatu proses pengukuran adalah *maintenance error*, yaitu kesalahan dalam kalibrasi alat.

Dari semua lintasan pengukuran yang telah diidentifikasi jenis lapisan batumannya, maka proses selanjutnya adalah menganalisis keberadaan terduga zona sesar. Sesar memiliki ciri terdapatnya rekahan atau bidang yang menerebos perlapisan batuan di sekitarnya dengan nilai resistivitas yang lebih tinggi. Sesar juga bisa dilihat dari bidang diskontinuitas (ketidakmenerusan) vertikal pada sebaran nilai resistivitas batuan. Selain itu, sesar juga bisa dilihat dari posisi batuan yang lebih rendah atau lebih tinggi dari posisi batuan yang ada di sebelahnya (Wafi dkk., 2013; Seminsky dkk., 2016; Nabi dkk., 2020; Saputra dkk., 2021; Ariyanto dkk., 2023; Sandra dkk., 2023). Analisa lebih detail akan dibahas pada analisis masing - masing lintasan pengukuran.

4.1 Analisis Lintasan 1

Penampang resistivitas 2D lintasan 1 dapat dilihat pada **Gambar 4**, sedangkan penampang litologi 2D lintasan 1 dapat dilihat pada **Gambar 5**. Detail dari jenis lapisan batumannya, rentang resistivitasnya

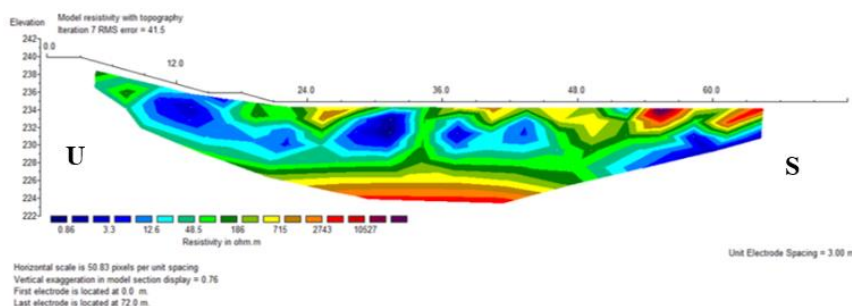
dan kedalamannya dapat dilihat pada **Tabel 2**.

Berdasarkan persebaran resistivitas lintasan 1, maka tidak ditemukan suatu bidang atau diskontinuitas vertikal sebaran resistivitas, sehingga lintasan ini tidak ditemukannya indikasi zona sesar. Mengingat *RMS Error* pada lintasan ini cukup tinggi, maka hal tersebut juga berkemungkinan dapat menjadi salah satu faktor yang berpengaruh kalau di lintasan ini tidak ditemukannya zona sesar. Disamping itu, menurut Pakpahan, dkk., (2012) sesar Palu Koro masih sangat aktif yang disebabkan oleh aktivitas sesar Palu Koro dan sesar-sesar minor. Dengan kata lain, daerah ini sangat berpotensi ditemukannya sesar minor, karena posisi yang berdekatan dengan sesar utama Palu Koro.

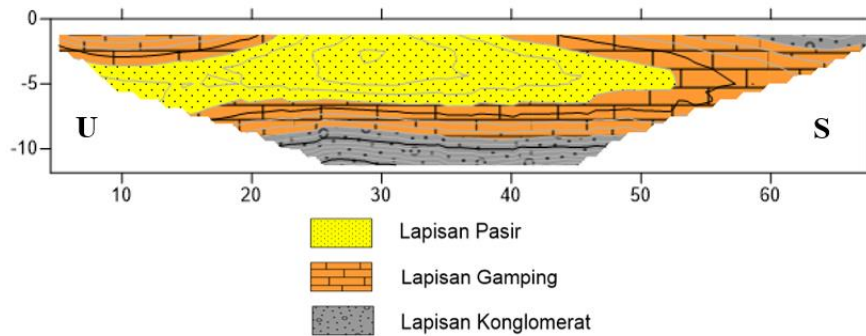
Selain itu, menurut Marjiyono dkk. (2013), batuan dasar pada formasi Tinombo Ahlburg ini adalah batupasir dengan resistivitas yang rendah. Hal tersebut juga tidak selaras dengan penampang litologi 2D lintasan 1, yang mana lapisan batupasir tidak berada pada posisi paling bawah/dasar tapi pada posisi sebaliknya.

Tabel 2. Interpretasi litologi bawah permukaan pada lintasan 1.

| ρ_a (Ωm) | Warna | Kedalaman (m) | Ketebalan (m) | Litologi |
|-------------------------|---------------------|---------------|---------------|------------------|
| 0,86 - 12,6 | biru tua-biru toska | 1-7 | 6 | Batupasir |
| 12,6 - 715 | hijau muda-kuning | 2-5 | 3 | Batugamping |
| 715 - 10.527 | coklat-ungu | 1-2 | 1 | Batu Konglomerat |



Gambar 4. Penampang 2D resistivitas lintasan 1.



Gambar 5. Penampang 2D litologi lintasan 1.

4.2. Analisis Lintasan 2

Pada lintasan ini terdapat perbedaan yang sangat signifikan dari lintasan 1 dimana *RMS Error* yang didapat hanya sebesar ~5,3%. Penampang resistivitas 2D lintasan 2 dapat dilihat pada **Gambar 6**, sedangkan penampang litologi 2D lintasan 2 dapat dilihat pada **Gambar 7**. Detail dari jenis lapisannya, rentang resistivitasnya dan kedalamannya dapat dilihat pada **Tabel 3**. Berdasarkan persebaran resistivitas lintasan 2, maka ditemukannya indikasi zona sesar yang ditandai dengan adanya diskontinuitas vertikal pada sebaran nilai resistivitas batuan. Batuan dengan resistivitas yang sama dan seharusnya berada dalam satu lapisan dipisahkan atau diganggu oleh bidang atau terduga zona sesar. Zona ini didominasi dengan resistivitas rendah yang memotong perlapisan batuan di sekitarnya dengan nilai resistivitas yang lebih tinggi.

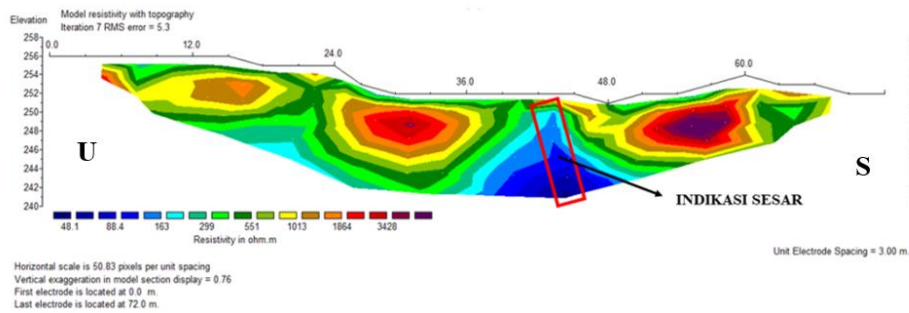
Lapisan batuan yang mengalami diskontinuitas (terpisah) adalah lapisan konglomerat yang memiliki rentang resistivitas tinggi pada jarak 42 meter (**Gambar 6**) dari titik elektroda pertama. Lapisan ini diganggu/dipisahkan oleh lapisan batupasir yang merupakan lapisan batuan dasar pada daerah penelitian

(Marjiyono dkk., 2023) dan memiliki rentang resistivitas rendah (Ariyanto dkk. 2023 dan Saputra 2021). Sehingga lapisan batupasir ini terangkat hingga mencapai kedalaman ~3 m (**Gambar 7**), namun tidak terlihat singkapannya di permukaan sesuai dengan penelitian dari Marjiyono dkk. (2013). Berdasarkan kedalaman ini, maka terduga sesar termasuk ke dalam sesar minor atau patahan dangkal (Adis & Suryanto, 2018) yang dipengaruhi oleh sesar utama Palu Koro. Terlihat juga pada **Gambar 6**, bahwa sesar ini memiliki struktur menurun sehingga tergolong jenis sesar normal yang juga sudah banyak dibuktikan oleh para peneliti sebelumnya (Marjiyono, dkk., 2013).

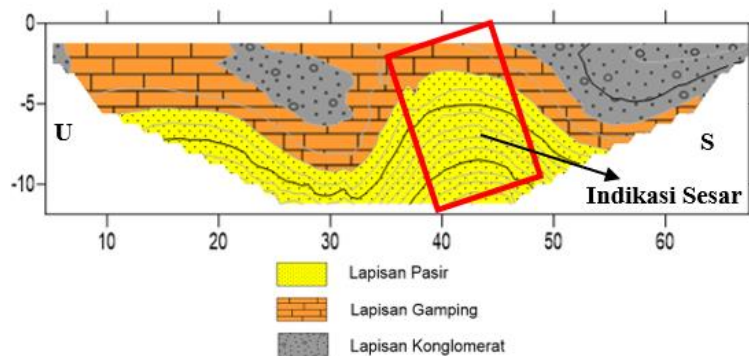
Akibat dari adanya terduga sesar ini, terlihat seolah-olah lapisan batugamping tersisipi oleh suatu bongkahan dari batu konglomerat (**Gambar 7**). Penyisipan batuan akan terbentuk jika terdapat gaya tektonik pada daerah tersebut. Hal ini sesuai dengan Supartoyo dkk. (2016) dan Yusran dkk. (2020) yang menyatakan Pulau Sulawesi mengalami ketidakstabilan tektonik sehingga membentuk beberapa sesar aktif salah satunya sesar Palu Koro dan sesar-sesar minor dengan kedalaman dangkal.

Tabel 3. Interpretasi litologi bawah permukaan pada lintasan 2.

| ρ_a (Ωm) | Warna | Kedalaman (m) | Ketebalan (m) | Litologi |
|-------------------------|---------------------|---------------|---------------|------------------|
| 48,1 - 163 | biru tua-biru toska | 2-12 | 10 | Batupasir |
| 163 - 1.013 | hijau muda-kuning | 5-10 | 5 | Batugamping |
| 1.013 - 3.428 | coklat-ungu | 2-9 | 7 | Batu Konglomerat |



3 **Gambar 6.** Penampang 2D resistivitas lintasan 2.



Gambar 7. Penampang 2D litologi lintasan 2.

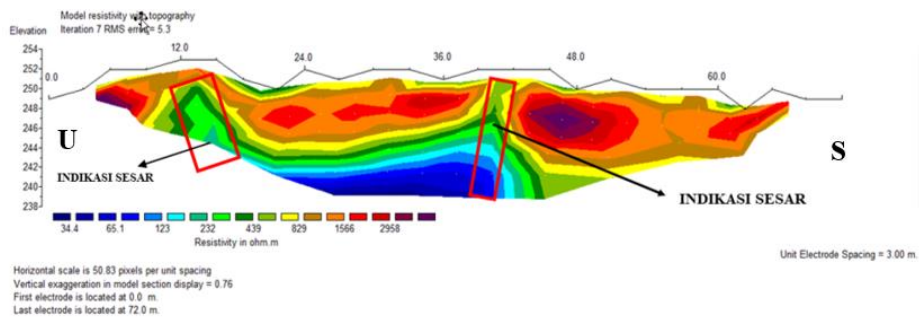
4.3. Analisis Lintasan 3

Analisis lintasan 3 hampir sama dengan lintasan 2, dimana nilai *RMS Error* yang didapatkan juga sama. 3 Penampang resistivitas 2D lintasan 3 dapat dilihat pada **Gambar 8**, sedangkan penampang litologi 2D lintasan 3 dapat dilihat pada **Gambar 9**. Detail dari jenis lapisannya, rentang resistivitasnya dan kedalamannya dapat dilihat pada **Tabel 4**. Pada lintasan 3 juga ditemukannya indikasi zona sesar sebanyak

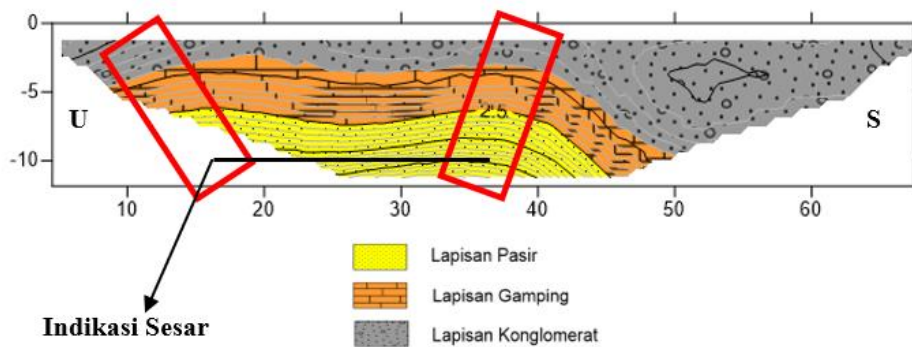
2 zona yang terlihat dari **Gambar 8**. Sama halnya dengan lintasan sebelumnya, dimana zona ini diindikasikan karena terdapatnya diskontinuitas lapisan batuan. Indikasi zona sesar juga terlihat dari posisi batuan, dimana batuan terduga zona sesar lebih tinggi dibanding batuan yang ada disebelahnya (Wafi dkk., 2013). Hal ini juga bersesuaian dengan jenis sesar yang merupakan sesar normal seperti 19 pada lintasan 2 sebelumnya.

Tabel 4. Interpretasi litologi bawah permukaan pada lintasan 3.

| ρ_a (Ω m) | Warna | Kedalaman (m) | Ketebalan (m) | Litologi |
|------------------------|---------------------|---------------|---------------|------------------|
| 34,4 - 123 | biru tua-biru toska | 6-12 | 4 | Batupasir |
| 123 - 829 | hijau muda-kuning | 3-10 | 7 | Batugamping |
| 829 - 2.958 | coklat-ungu | 2-9 | 7 | Batu Konglomerat |



3 **Gambar 8.** Penampang 2D resistivitas lintasan 3.



Gambar 9. Penampang 2D litologi lintasan 3.

Zona terduga sesar pertama terletak pada jarak 20 m, sedangkan zona terduga sesar kedua terletak pada jarak 40 m dari elektroda pertama yang terlihat pada **Gambar 8**. Sama dengan sebelumnya bahwa lapisan batuan yang mengalami diskontinuitas adalah lapisan konglomerat yang memiliki rentang resistivitas tinggi, sedangkan lapisan yang mengganggu atau yang terduga zona sesar adalah lapisan batupasir (menerus ke batugamping) yang memiliki rentang resistivitas rendah. Terduga zona sesar juga termasuk ke dalam sesar minor atau patahan dangkal (Adis & Suryanto, 2018). Secara keseluruhan, kemenerusan terduga zona sesar yang telah dikorelasikan dengan orientasi posisi penampang lintasan 2 dan 3, memiliki arah relatif dominan timur laut-barat daya. Hal ini bersesuaian dengan hasil penelitian oleh Pakpahan, dkk., (2013) yang menyatakan bahwa sebaran hiposentrum juga terlihat

2 sesar relatif timur laut-barat daya dengan kedalaman 3-15 km. Terduga zona sesar merupakan hasil dari pergerakan sesar aktif Palu Koro.

5. KESIMPULAN

Pada daerah penelitian ini terdapat 3 jenis lapisan batuan yaitu batupasir pada rentang resistivitas 0,86 – 163 Ω m, lapisan batugamping yang berada pada rentang resistivitas 164 – 1.013 Ω m, dan lapisan batu konglomerat yang berada pada rentang resistivitas 1.014 – 10.527 Ω m.

Terdapat terduga 3 zona sesar yang terlihat pada lintasan 2 dan 3. Sesar ini tergolong pada sesar minor dengan jenis sesar normal akibat dari sesar aktif Palu Koro dengan arah kemenerusan dominan timur laut-barat daya. Info ini dapat menambah informasi terkait zona sesar di daerah penelitian khususnya ataupun provinsi Sulawesi Tengah umumnya, agar mitigasi bencana gempabumi dapat

diupayakan dengan baik dimasa yang akan datang.

UCAPAN TERIMA KASIH

Terima kasih pada Papa APREDI pada 7 Agustus 2023 berjalan lebih dulu menuju Surga Allah.

DAFTAR PUSTAKA

- Adis, M. S. W. & Suyanto, W. (2018). *Analisis dan Interpretasi Sesar Cimandiri Jawa Barat Menggunakan Data Anomali Gravitasi Udara Bebas TOPEX, Mekanisme Fokus Gempa CMT Serta Katalog Gempa BMKG*. Universitas Gajah Mada.
- Ariyanto, P., Gustono, S. T., Margiono, R., & Ricaksono, A. L. (2023). Identifikasi Sesar Cimandiri Segmen Cidadap Menggunakan Metode Geolistrik Resistivitas Konfigurasi Dipole-Dipole dan Schlumberger. *Jurnal Wahana Fisika*, 8(1), 48-63. doi : 10.17509/waf.v&i1.57465.
- Badan Meteorologi, Klimatologi, dan Geofisika (2018). Gempa 7,4 SR Kabupaten Donggal Sulawesi Tengah, Badan Meteorologi, Klimatologi, dan Geofisika. Available at : www.bmkg.go.id/press-release/.
- Daryono. (2021). *Mitigasi Gempabumi Akibat Sesar Aktif. Badan Meteorologi Klimatologi dan Geofisika* (BMKG).
- Mamonto, F., As'ari, & Ferdy. (2016). Identifikasi Patahan Manado Dengan Menggunakan Metode Geolistrik Resistivitas Konfigurasi Wenner-Schlumberger di Desa Watutumou II Kecamatan Kalawat Kabupaten Minahasa Utara. *Jurnal Ilmiah Sains*, 16(2), 51-60. doi : 10.35799/jis.16.2.2016.14023.
- Marjiyono, Kusumawardhani, H., & Soehaimi, A. (2013). Struktur Geologi Bawah Permukaan Dangkal Berdasarkan Interpretasi Data Geolistrik, Studi Kasus Sesar Palu Koro. *Jurnal Sumber Daya Geologi*, 23(1), 39-45.
- Massinai, M. A., Lantu, Virman, & Akbar, S. (2013). Aplikasi Metode Geolistrik Untuk Identifikasi Sesar Bawah Permukaan Di Wilayah DAS Jeneberang Sulawesi Selatan. *Prosiding Seminar Nasional dan Pendidikan Sains VIII*, 4(1), 305-310.
- Nabi, A., Liu, X., Gong, Z., & Ali, A. (2020). Electrical Resistivity Imaging of Active Faults in Palaeoseismology : Case Studies From Karachi Arc, Southern Kirthar Fold Belt, Pakistan. *NRIAG Journal of Astronomy and Geophysics*, 9(1), 116-128. doi : 10.1080/20909977.2020.1722524.
- Naryanto, H. S. (2018). Analisis Patahan Bawah Permukaan Dari Pengukuran Geolistrik Untuk Antisipasi Bencana Gempa di Kabupaten Grobogan. *Jurnal Alami*, 2(2), 73-81. doi : 10.29122/alami.v2i2.
- Nevedrova, N. N., Deev, E. V., & Ponomarev, P. V. (2017). Fault Structures and Their Geoelectric Parameters in The Epicentral Zone of The 27 September 2003 Chuya Earthquake (Gorny Altai) from Resistivity Dara. *Russian Geology and Geophysics Journal*, 58(1), 123-132. doi : 10.1016/j.rgg.2016.01.021.
- Pakpahan, S., Ngadmanto, D., & Masturyono. (2015). Analisis Kegempaan di Zona Sesar Palu Koro, Sulawesi Tengah. *Jurnal Lingkungan dan Bencana Geologi*, 6(2), 253-264.
- Samang, L., Harianto, T., Nurdin, S., Aswad, S., Alimuddin, I., Arsyad, A., Beddu, A., Rauf, I., & Nur, St.H. (2018). *Investigasi Awal Kebencanaan Likuifaksi dan Profil Resistivitas Tanah Akibat Gempa Magnitude 7,4 MW Kota Palu*. Pusat Studi Gempa Nasional.
- Sanders, M. S., & Cornick, E. Mc. (1993). *Human Factors In Engineering and Design*. New York : McGraw Hill Book Company.
- Sandra, S., Sepe, M. F., Rusydi, M., & Jamidun, J. (2023). The Identification of Fault in Sibedi Village, Marawola Subdistrict, Sigi Regency, Using Geoelectrical Resistivity Method. *AIP Conference Proceedings*. 2719, 020013. doi : 10.1063/5.0133271.
- Saputra, P., Syamsuddin, & Hiden, H. (2021). Pemetaan Sesar dan Analisis Geometri Menggunakan Data Geolistrik di Selengan Lombok Utara. *Jurnal Indonesian Physical Review*, 4(1), 43-50. doi : 10.29303/ipr.v4i1.76.
- Seminsky, K. Zh., Zaripov, R. M., & Olenchenko, V. V. (2015). Interpretation of Shallow Electrical Resistivity Images of Faults : Tectonophysical Approach. *Russian Geology and Geophysics Journal*, 57(2016), 1349-1358. doi : 10.1016/j.rgg.2016.08.020.
- Sukamto. (1973). Peta Geologi Tinjau Lemabr Palu, Sulawesi Tengah. Direktorat Geologi.
- Supartoyo, Sulaiman, C., & Junaedi, D. (2014). Kelas Tektonik Sesar Palu Koro, Sulawesi Tengah. *Jurnal Lingkungan dan Bencana Geologi*, 5(2), 111-128. doi : 10.34126/jlbg.v5i2.
- Supartoyo, Surono & E. T. P. (2018). Katalog Gempabumi Merusak di Indonesia Tahun 1612-2014. Available at : www.vsi.esdm.go.id.

- Surono & Hartono, U. (2013). *Geologi Sulawesi, 2nd Ed*, 1-398. Bandung : LIPI Press.
- Telford, W. M., Geldart, L. P., & Sheriff, R. E. (1990). *Applied Geophysics : Second Edition*. USA : Cambridge University Press.
- Wafi, A., Santosa, B. J., & Warnama, D., D. (2013). Pemetaan Zona Lemah Menggunakan Metode Geolistrik Konfigurasi Wenner dan Dutch Cone Penetrometer Test (Dcpt). *Jurnal Sains dan Seni POMITS*, 2(1), 2337-3520.
- Yusran, M., Massinai, M. A., & Syahrudin, M., H. (2020). Studi Zona Sesar Menggunakan Metode Geolistrik Resistivitas dan Data Geologi Permukaan di Kecamatan Ujungloe Kabupaten Bulukumba. *Jurnal Geoelebes*, 4(1), 53-60. doi : 10.20956/geoelebes.v4i1.9233.

● 16% Overall Similarity

Top sources found in the following databases:

- 15% Internet database
- 6% Publications database
- Crossref database
- Crossref Posted Content database
- 6% Submitted Works database

TOP SOURCES

The sources with the highest number of matches within the submission. Overlapping sources will not be displayed.

| | | |
|---|--|-----|
| 1 | jge.eng.unila.ac.id Internet | 2% |
| 2 | adoc.pub Internet | 2% |
| 3 | physics.ulm.ac.id Internet | 2% |
| 4 | ipr.unram.ac.id Internet | 1% |
| 5 | repo.itera.ac.id Internet | <1% |
| 6 | Institut Teknologi Sumatera on 2021-03-08 Submitted works | <1% |
| 7 | id.scribd.com Internet | <1% |
| 8 | Novalia Pertiwi. "Rancang Bangun Antena Mikrostrip Array 1x8 Elemen..." Crossref | <1% |

| | | |
|----|---|-----|
| 9 | docplayer.info Internet | <1% |
| 10 | ejurnal.bppt.go.id Internet | <1% |
| 11 | researchgate.net Internet | <1% |
| 12 | 123dok.com Internet | <1% |
| 13 | jayps.iranmehr.ac.ir Internet | <1% |
| 14 | text-id.123dok.com Internet | <1% |
| 15 | Universitas Airlangga on 2019-04-10 Submitted works | <1% |
| 16 | andyimanerdians.blogspot.com Internet | <1% |
| 17 | itera on 2022-10-12 Submitted works | <1% |
| 18 | es.scribd.com Internet | <1% |
| 19 | etheses.uin-malang.ac.id Internet | <1% |
| 20 | repository.uhamka.ac.id Internet | <1% |

| | | |
|----|--|-----|
| 21 | sianipar17.files.wordpress.com Internet | <1% |
| 22 | dergipark.org.tr Internet | <1% |
| 23 | geomatejournal.com Internet | <1% |
| 24 | iGroup on 2014-12-11 Submitted works | <1% |
| 25 | journal.uin-alauddin.ac.id Internet | <1% |
| 26 | Universitas Pertamina on 2021-06-15 Submitted works | <1% |
| 27 | eprints.uad.ac.id Internet | <1% |
| 28 | Universitas Diponegoro on 2020-09-21 Submitted works | <1% |
| 29 | contohartikel.com Internet | <1% |
| 30 | itera on 2022-07-31 Submitted works | <1% |
| 31 | jlbg.geologi.esdm.go.id Internet | <1% |
| 32 | journal.unhas.ac.id Internet | <1% |

33

klikpena.com

Internet

<1%

34

vsi.esdm.go.id

Internet

<1%